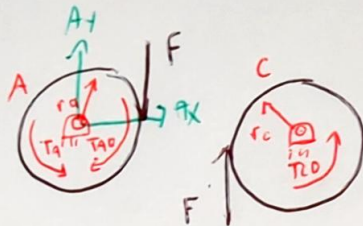


3.58

### Análisis estático

O. c. L.



$$\Sigma M_A = 0$$

$$\therefore T_A - T_{AB} - F r_A \quad (1)$$

$$\Sigma M_C = 0$$

$$\therefore T_{CD} - F r_C = 0 \quad (2)$$

Tenemos  
3 incógnitas  
12 ecuaciones  
 $\therefore$  es  
hiperestático

De (1) y (2):

$$T_A - T_{AB} - \left[ \frac{T_{CD}}{r_C} \right] r_A = 0 \quad (3)$$

### Análisis de deformaciones

Datos:

$$\phi_A = \phi_{A/B} = \frac{T_{AB} L_{AB}}{G J_{AB}} \quad (4)$$

$$G = 77.2 \text{ [GPa]}$$

$$\phi_C = \phi_{C/D} = \frac{T_{CD} L_{CD}}{G J_{CD}} \quad (5)$$

$$r_A = 80 \text{ [mm]}$$

$$T_{\max} = \tau = \frac{T}{J}$$

### Análisis de relación cinemática:

$$r_A \phi_A = r_C \phi_C \quad (6)$$

$$J = \frac{\pi}{2} r^4$$

Sustituyendo (4) y (5) en (6):

$$J_{AB} = \frac{\pi}{2} \left( \frac{18 \times 10^{-3}}{2} \right)^4$$

$$J_{AB} = 1.0305 \times 10^{-8}$$

(6)

$$r_A \frac{T_{AB} L_{AB}}{G J_{AB}} = r_C \frac{T_{CD} L_{CD}}{G J_{CD}} \quad (7)$$

$$J_{CD} = \frac{\pi}{2} \left( \frac{15 \times 10^{-3}}{2} \right)^4 = 4.97 \times 10^{-9} \quad (9)$$

$\therefore$  Sustituyendo los valores en (7)

$$\left( \frac{18 \times 10^{-3}}{2} \right) \frac{T_{AB} (2 \times 10 \times 10^3)}{(77.2 \times 10^9) (1.0305 \times 10^{-8})} = \left( \frac{15 \times 10^{-3}}{2} \right) \left( \frac{T_{CD} (2 \times 10 \times 10^3)}{(77.2 \times 10^9) (4.97 \times 10^{-9})} \right)$$

$$\therefore 2.7151 \times 10^{-6} T_{AB} = 4.6913 \times 10^{-6} T_{CD} \quad (8)(8)$$

∴ Plantando el sistema de ecuaciones: con (3) y (7)

$$T_A - T_{AB} - \left[ \frac{T_{CD}}{V_C} \right] V_A = 0$$

Sustituyendo los valores conocidos

$$80 = T_{AB} - \frac{T_{CD}}{\left( \frac{15 \times 10^{-3}}{2} \right)} \left( \frac{18 \times 10^{-3}}{2} \right) = 0$$

$$\therefore 80 - T_{AB} - 1.2 T_{CD} = 0$$

$$2.7151 \times 10^{-6} T_{AB} - 4.6913 \times 10^{-6} T_{CD} = 0$$

$$\therefore \boxed{T_{AB} = 47.211 \text{ [Nm]}} \quad \boxed{T_{CD} = 27.324 \text{ [Nm]}}$$

$$a) \tau_{CD} = \{ \} = \frac{T_{CD} V_{CD}}{J_{CD}} = \frac{(27.324) \left( \frac{15 \times 10^{-3}}{2} \right)}{4.97 \times 10^{-9}} = \boxed{41.2334 \text{ MPa}}$$

$$b) \phi_A = \{ \} = \frac{T_{AB} L_{AB}}{G J_{AB}} = \frac{(47.211) (240 \times 10^{-3})}{(77.2 \times 10^9) (1.0365 \times 10^{-8})} = \boxed{0.01424 \text{ rad}}$$
$$= \boxed{0.816^\circ}$$

$$2\pi = 360^\circ$$

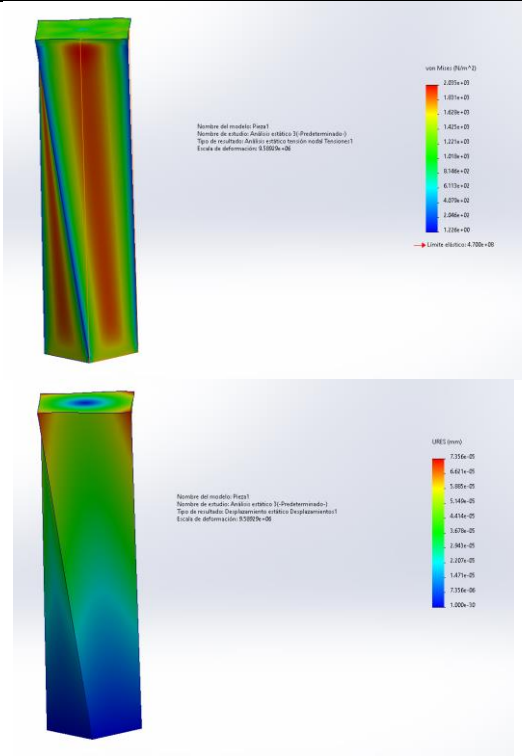
orcl

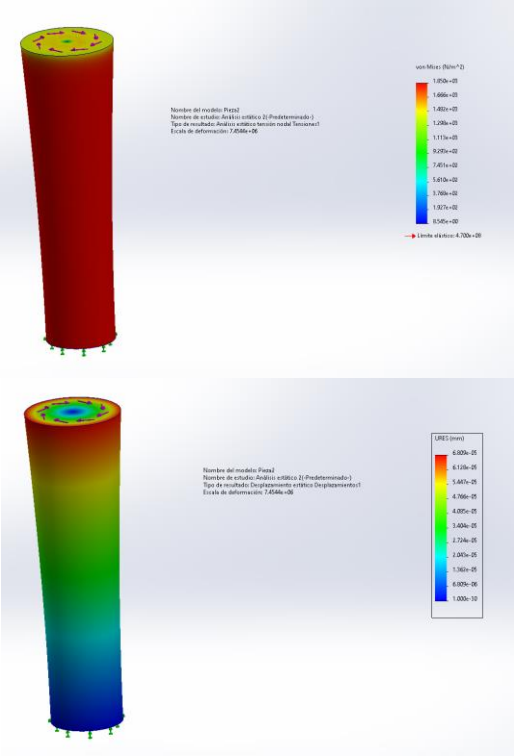
$$300 \text{ [Nm]} = [0.7071] F$$

$$\therefore F = 424.26$$

Valores propuestos

Longitud [m]	Area [m^2]	Torsion [Nm]	Material
5	1	300	Acero AISI 4340

Figura de base	b [m]	Imagen	Análisis
Cuadrado	1		<p>El software no me permitió simular fuerzas de torque en una superficie plana, por lo que conociendo la definición del torque vista en clase, solo le coloqué fuerzas perpendiculares a un eje central.</p> <p>El esfuerzo máximo se aplicó en las caras más cercanas al eje de rotación, podemos observar que el esfuerzo no se distribuye de forma uniforme.</p> <p>El esfuerzo aplicado es 230,958 (Factor de seguridad) veces más bajo que el límite elástico del material, por lo que sin problema podríamos trabajar con ellos.</p> <p>En cuanto a la deformación alcanzó su punto máximo en la parte superior. La deformación causó que el cuadrado pierda su forma recta</p>

Circulo	1.1284	 <p>von Mises (N/m<sup>2</sup>)</p> <p>1.000e-01 9.000e-02 8.000e-02 7.000e-02 6.000e-02 5.000e-02 4.000e-02 3.000e-02 2.000e-02 1.000e-02 0.000e+00</p> <p>Nombre del resultado: Resultado Nombre de estudio: Análisis estático (1) (Postdeformado) Tipo de resultado: Análisis de esfuerzos (Tensiones) Escala de deformación: 7.6586e+06</p> <p>1.000e-01 9.000e-02 8.000e-02 7.000e-02 6.000e-02 5.000e-02 4.000e-02 3.000e-02 2.000e-02 1.000e-02 0.000e+00</p> <p>Nombre del resultado: Resultado Nombre de estudio: Análisis estático (1) (Postdeformado) Tipo de resultado: Desplazamientos (Desplazamientos) Escala de deformación: 7.6586e+06</p> <p>0.000e+00 0.000e+00 0.000e+00 0.000e+00 0.000e+00 0.000e+00 0.000e+00 0.000e+00 0.000e+00 0.000e+00 0.000e+00</p>	<p>Se aplico la torsion, y se obtuvo un esfuerzo máximo un 9.09% menor que el de la forma cuadrada, además de que como podemos observar el esfuerzo se distribuye de manera uniforme a lo largo de la cara cilíndrica.</p> <p>En cuanto a la deformación al igual que el caso anterior, alcanzo su punto máximo en la parte superior</p>
---------	--------	--	--